

دراسة تحليلية لعقدة مصبوبة بالمكان لإطار بيتوني مسبق الصنع مسبق الإجهاد تحت تأثير حمل دوري

راما غازي نور الدين^{1*} ريم سلمان الصحاوي²

¹. طالبة ماجستير، مهندسة، قسم الهندسة الإنشائية الزلزالية، جامعة دمشق، المعهد العالي للبحوث والدراسات الزلزالية.
Rama.nour@damascusuniversity.edu.sy

². مدرسة، دكتورة، مهندسة، قسم الهندسة الإنشائية الزلزالية، جامعة دمشق، المعهد العالي للبحوث والدراسات الزلزالية.
Reem1.salmansy@damascusuniversity.edu.sy

تاریخ الإيداع: 2023/11/1

تاریخ القول: 2024/2/26



حقوق النشر: جامعة دمشق -

سورية، يحتفظ المؤلفون بحقوق

النشر بموجب CC BY-NC-SA

الملخص:

ركز الباحثون بشكل أساسي على أنواع الوصلات في المنشآت الإطارية مسبقة الصنع، وعلى السلوك الزلزالي للأنواع المختلفة لتلك الوصلات. يوجد نوعين من الوصلات في الإطارات مسبقة الصنع مقاومة للعزم، النوع الأول أنظمة متباينة متكافئة (Equivalent monolithic systems) تتألف من أعمدة وجوائز بيتونية مسبقة الصنع تربط بينهم وصلات مصبوبة بالمكان، والنوع الثاني أنظمة مفصليّة (Jointed systems) تكون فيها الوصلات أضعف من العناصر البيتونية المجاورة ولا يفضل استخدامها في المناطق الزلزالية. يقدم البحث دراسة تحليلية لسلوك أحد أنواع الأنظمة المتباينة المتكافئة المكونة من عقدة وسطية مصبوبة بالمكان لإطار بيتوني مسبق الصنع مسبق الإجهاد تحت تأثير التحميل الدوري باستخدام برنامج ABAQUS.19. تم تزويد العقدة المصبوبة بالمكان بقضبان تسليح فولاذية على شكل حرف U، تترافق مع إرساء الكابلات مسبقة الإجهاد والتسلیح الطولي في الجائز لتأمين استمرار نقل للحمولات. وتحسین سلوك العقدة المصبوبة بالمكان تم تغيير عدة بارامترات (مقاومة البيتون المصبوب بالمكان، قطر قضبان التسليح على شكل حرف U في منطقة الوصل، أبعاد مفتاح القص). أهم الاستنتاجات التي تم التوصل إليها بهذا البحث أنه بزيادة مقاومة البيتون المصبوب بالمكان في منطقة الوصل زادت مقاومة العقدة وزادت الطاقة المبددة للدنة في العقدة. وبزيادة قطر قضبان التسليح على شكل حرف U زادت مقاومة العقدة وانخفاض الطاقة المبددة للدنة في العقدة. كما ازدادت مقاومة العقدة وزادت الطاقة المبددة للدنة بتكبير أبعاد مفتاح القص.

الكلمات المفتاحية: عقدة مصبوبة بالمكان، إطار بيتوني مسبق الصنع مسبق الإجهاد، تحميل دوري، مغلف الحلقات الهستيرية، الطاقة المبددة للدنة.

Analytical study of a cast-in-place joint of a precast prestressed concrete frame under cyclic load

Rama Ghazi NOUR ALDEN*¹ Reem Salman ALSEHNAWI²

Received: 1/12/2023

Accepted: 26/2/2024



Copyright: Damascus University- Syria, The authors retain the copyright under a CC BY- NC-SA

*¹. Master Student in Department of Seismic Structural Engineering, University of Damascus, Higher Institute of Earthquake Studies & Research, Damascus, Syria

Rama.nour@damascusuniversity.edu.sy

². Assistant Professor in Department of Seismic Structural Engineering, University of Damascus, Higher Institute of Earthquake Studies & Research, Damascus, Syria

Reem1.salman@damascusuniversity.edu.sy

Abstract:

The researchers focused mainly on the types of connections in precast frame structures and the seismic behaviour of the different types of those connections. There are two types of connections in moment-resisting precast frames the first type is equivalent monolithic systems, which composed of precast concrete columns and beams connected by cast-in-place connections, the second type is jointed systems in which the connections are weaker than the adjacent concrete elements. The research presents an analytical study of the behaviour of one type of equivalent monolithic system consisting of a cast-in-place middle joint of a prestressed precast concrete frame under cyclic loading by using ABAQUS.19. The cast-in-place joint is provided with U-shaped steel reinforcing bars that overlap the pre-anchored cables and longitudinal reinforcement in the beam to ensure continuous transfer of loads. To improve the behaviour of the cast-in-place joint, several parameters were changed (the compressive strength of the cast-in-place concrete, the diameter of the U-shaped reinforcing bars and the dimensions of the shear key) The most important conclusions reached in this research are that by increasing the compressive Strength of cast-in-place concrete in the joint area, the joint strength increased and the plastic dissipated energy increased. As the diameter of the U-shaped reinforcing bars increased, the strength of the joint increased and the plastic dissipated energy in the joint decreased. The strength of the joint also increased, and the plastic dissipated energy increased as the dimensions of the shear key increased.

Key words: Cast-in-place joint, Precast Prestress concrete frame, Cyclic loading, Envelope the of hysteretic loops, plastic dissipated energy.

المقدمة:

تحليلية في برنامج ANSYS لدراسة سلوك العقدة المدروسة

وقد أعطت نتائج متوافقة لنتائج النموذج التجاري (Cai et al., 2009). كما قدم نفس الباحث بحثاً قام فيه بإجراء Pushover analysis في برنامج OpenSees لإطار بيتوني مسبق الصنع ومبوب الإجهاد والعقد مصبوبة بالمكان، مؤلف من ثلاث طوابق بفتحتين مجاز كل منها 8m، وقد أظهرت النتائج تشكل المفاصل اللدننة في نهايات الجوائز (Cai et al., 2008). وقد قدم Yan Xueyuan بحثاً يتضمن دراسة تجريبية لدراسة سلوك عقدة مصبوبة بالمكان لإطار بيتوني مسبق الصنع ومبوب الإجهاد، ومقارنتها مع سلوك عقدة إطار بيتوني مصبوب بالمكان، وقد أظهرت النتائج تشابه سلوك العقدتين من حيث المقاومة وتبييد الطاقة

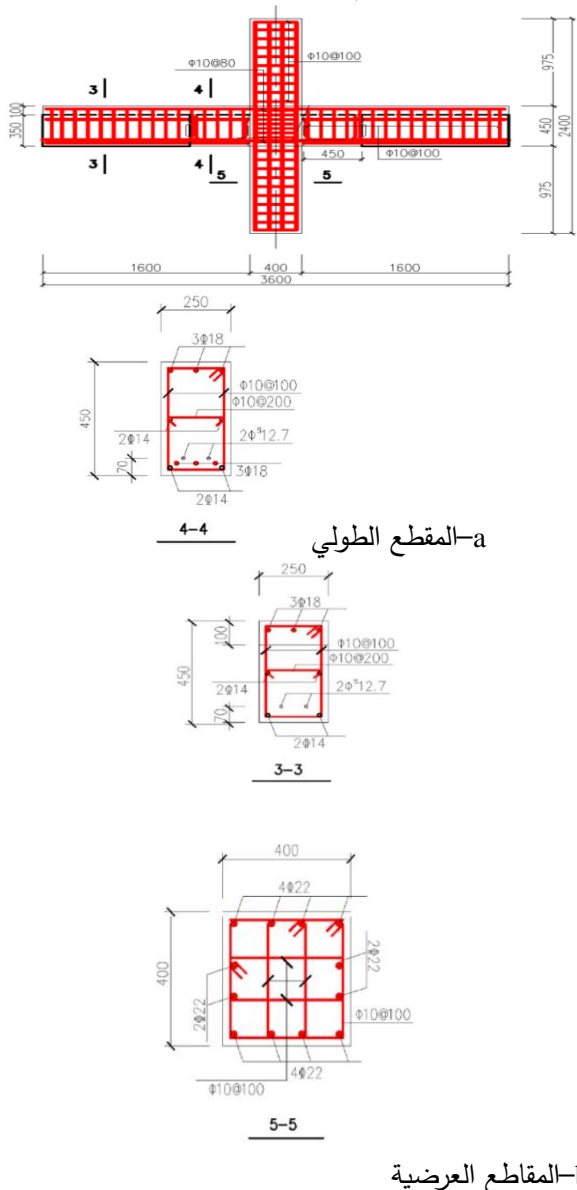
Yangqing Liu et al., 2018). وقد قدم الباحث دراسة تجريبية لدراسة سلوك عقدة طرفية مصبوبة بالمكان لإطار بيتوني مسبق الصنع تحت تأثير حمل دوري، مع دراسة أثر تغير طول منطقة الوصل وقد أظهرت النتائج أن النماذج أبدت سلوك جيد حيث تشكل المفاصل اللدننة في نهاية الجوائز ولم يحدث أي ضرر في العقدة (Liu et al., 2019). كما قدم الباحث Jun Yang تحت تأثير حمل الدوري، مع دراسة أثر تغير طول منطقة التراكب الأفقي بين قضبان التسليح على شكل حرف U وإرساء الكابلات الفولاذرية مسبقة الإجهاد، معأخذ تأثير عدة مستويات للصدأ (corrosion) في قضبان التسليح، وأثبتت الباحث أن الصداً في القضبان أثر بشكل كبير على السلوك الزلزالي للعقدة، وأن الطاقة المبذدة للنماذج ذات الأطوال القصيرة ومنطقة التراكب الأفقي كانت أكبر من النماذج ذات الأطوال الطويلة لمنطقة التراكب تحت ذات مستوى الصداً (Yang et al., 2019). سيتم في هذا البحث دراسة تحليلية لسلوك عقدة وسطية مصبوبة بالمكان لإطار بيتوني مسبق الصنع ومبوب الإجهاد تحت تأثير حمل دوري باستخدام

ازداد انتشار تطبيق البيرتون مسبق الصنع لما له من مميزات عديدة منها السرعة في التنفيذ مع ضمان جودة المواد، والقدرة على العمل ضمن الظروف البيئية المختلفة والتقليل من كلفة البناء. من جهة أخرى وُجدت تحديات عديدة تواجه تطبيق البيرتون مسبق الصنع كان أهمها ضعف الاتصال بين العناصر المكونة للمنشأ خاصة في المناطق الزلزالية، نتيجة لذلك ركز الباحثون على دراسة سلوك هذه الوصلات وتطويرها لضمان الأداء الجيد لها من حيث المقاومة والمطاوعة والقدرة على تبييد الطاقة. وقد حظيت المنشآت التي تتالف من العناصر البيرتونية مسبقة الصنع المتصلة بواسطة العقدة البيرتونية المصبوبة بالمكان باهتمام كبير في مجال البيرتون مسبق الصنع، وكان أهمها العقدة المؤلفة من عمود بيتوني مسبق الصنع، وجائز بيتوني مسبق الصنع ومبوب الإجهاد ويتم الرابط بينهما عن طريق العقد، ومنطقة الوصل (key slot) التي تمتد من نهاية الجائز إلى وجه العمود مسبق الصنع وتكون من البيرتون المصبوب بالمكان، ويتم تزويد منطقة الوصل بقضبان تسليح فولاذرية على شكل حرف U التي تترافق مع إرساء الكابلات مسبقة الإجهاد والتسليح الطولي للجائز في منطقة الوصل (key slot) لتأمين استمرار نقل الحمولات. كما يتم استخدام مفتاح القص (shear key) عند السطح الشاقولي الفاصل بين الجائز البيرتوني مسبق الصنع ومنطقة الوصل البيرتونية المصبوبة بالمكان، لزيادة ارتباطهما والمساهمة في زيادة مقاومة القص. قدم الباحث Cai Jianguo دراسة تجريبية لدراسة سلوك عقدة مصبوبة بالمكان لإطار بيتوني مسبق الصنع ومبوب الإجهاد تحت تأثير التحميل الدوري، مع استخدام عدة أطوال مختلفة لقضبان التسليح على شكل حرف U الموجود في منطقة الوصل، حيث أبدت النتائج ضرورة وجود طول كاف لمنطقة الوصل لأن إجهاد التماسك يتم دعمه بشكل أساسى من خلال الجزء الأفقي لقضبان التسليح على شكل U. كما قدم الباحث دراسة

تمت الدراسة التحليلية لسلوك العقدة التي اختبرت تجريبياً من قبل الباحث Xueyuan (Yan et al., 2018) وأخرون وذلك باعتماد البارامترات

ومواصفات المواد المعتمدة في الدراسة التجريبية

(العقدة للحصول على السلوك الأفضل. يبين الشكل (1) أبعاد العقدة المدروسة ومقاطع العناصر المتصلة بالعقدة بالإضافة إلى التسلیح المستخدم في كل من الجائز والعمود والعقدة.



الشكل (1) مواصفات العقدة المدروسة

برنامج ABAQUS.19، ودراسة أثر تغير عدد من البارامترات لتحسين سلوك العقدة المدروسة.

1- مشكلة البحث:

من أهم التحديات التي تواجهه تطبيق المنشآت البيتونية الإطارية مسابقة الصناع تصميم العقد بين الجوائز والأعمدة لمقاومة الأحمال الجانبية. يعتبر حدوث آلة الانهيار في منطقة العقد وتشكل المفاصل اللدننة قبل تشكيلها في العناصر المتصلة بالعقدة من أهم المشاكل التي يجب تجنبها، مما يعطي أهمية لدراسة تحليل وتصميم هذه العقد التي من الصعب تدعيمها بعد الزلزال.

2- أهمية البحث:

للبيتون مسابق الصناع أهمية كبيرة حيث يساهم في تقليل هدر المواد، كما يقلل من العمالة اللازمة للتصنيع والتركيب، كما أنه يساعد في خفض تكالفة البناء والسرعة في التنفيذ. وتعتبر العقد من أهم العناصر التي تؤثر على السلوك الزلالي فمقدار تحمل العقد والوصلات وطرائق دراستها وتنفيذها يحدد مناطق تشكيل المفاصل اللدننة، وبالتالي شكل ميكانيزم الانهيار ومن هنا جاءت أهمية دراسة السلوك الزلالي لهذه العقد.

3- هدف البحث:

دراسة سلوك عقدة مصبوغة بالمكان لإطار بيتوني مسابق الصناع ومسابق الإجهاد تحت تأثير حمل دوري، ودراسة أثر تغيير البارامترات التالية :

- مقاومة البيتون المستخدم في منطقة الوصل.
- قطر قضبان التسلیح على شكل حرف U في منطقة الوصل.
- أبعاد مفتاح القص.

4- مواد البحث وطرائقه:

4-1- توصيف العقدة المدروسة:

والبيتون مسبق الصنع ما بعد مرحلة المرونة على الضغط وعلى الشد، على التوالي.

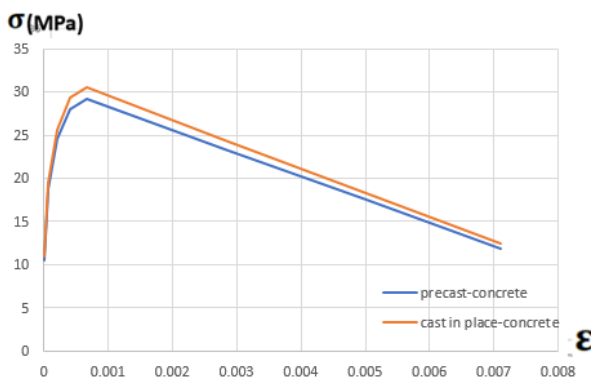
a-المقطع الطولي,b-المقاطع العرضية
(Yan et al.,2018)

4-2-المواد المستخدمة في الدراسة:

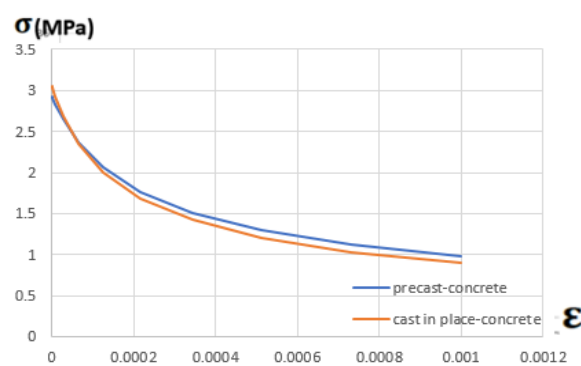
تم اعتماد خصائص المواد المستخدمة في الدراسة المرجعية (Yan et al.,2018). حيث يوضح الجدول (1) و(2) خصائص مادة البيرتون ومادة الفولاذ لقضبان التسلیح، على التوالي.

الجدول (1) خصائص البيرتون (Yan et al., 2018)

نوع البيرتون	المقاومة المميزة f_c (MPa)	معامل المرونة E_c (GPa)
البيرتون مسبق الصنع	29.2	33.0
البيرتون المصبوب بالمكان	30.5	32.8



الشكل (2) مخطط (الاجهاد-الانفعال اللامرن) للبيرتون على الضغط



الشكل (3) مخطط (الاجهاد-الانفعال اللامرن) للبيرتون على الشد
كما يبين الجدول (3) مواصفات التلدن في نموذج البيرتون التي تم إدخالها في برنامج ABAQUS.19.

الجدول (3) مواصفات التلدن في نموذج البيرتون

Dialation angle	30
Eccentricity	0.1
F_b/f_c	1.16
K	0.667
Viscosity parameter	0.0005

• الفولاذ:
تم استخدام خصائص قضبان الفولاذ المبين في الجدول (2) وذلك وفقاً للدراسة المرجعية (Yan et al.,2018) ويبيّن الشكل (4) منحنى الاجهاد-الانفعال لمادة الفولاذ.

الجدول (2) خصائص قضبان التسلیح (Yan et al., 2018)

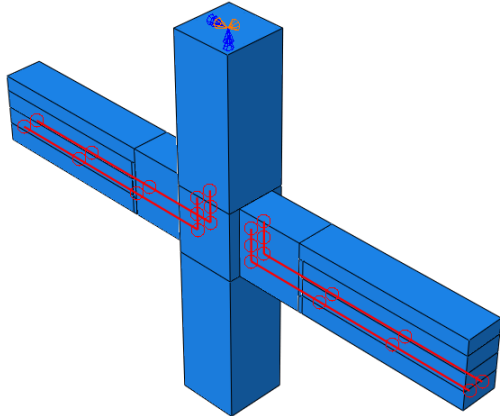
قطر قضبان التسلیح (mm)	المعارض f_y (MPa)	المقاومة الحدية f_u (MPa)	معامل المرونة E_s (GPa)	الاستطالة (%)
10	376	650	221.5	20.2
14	421	637	211.5	24.8
18	462	644	209.7	23.7
22	435	621	206.2	22.6
Ø12.7 قضبان سبق الإجهاد	1842	1981	195.6	/

وقد تم تعريف المواد في برنامج ABAQUS.19 وفقاً لما يلي:

- البيرتون

نموذج البيرتون المستخدم بالنمذجة هو Damaged Concrete Plasticity والذي يستخدم لتطبيقات البيرتون المعرض لشروط تحمل كييفي متضمناً التحمل الدوري المعكوس. هذا النموذج يأخذ بالحسبان انخفاض القساوة المرونة الناتج عن الانفعال اللدن بحالتي الشد والضغط. يأخذ أيضاً تأثيرات استرجاع القساوة نتيجة تحمل دوري. (جابر وآخرون،2022). يوضح الشكل (2) و (3) سلوك البيرتون المصبوب بالمكان

ويوضح الشكل (7) تطبيق سبق الإجهاد في الجائز حيث تم تطبيقه كشروط مسبقة للقضبان عن طريق Predefined Field في البرنامج ABAQUS.19.



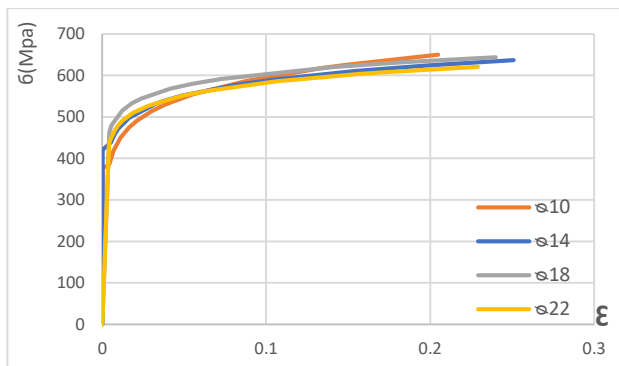
الشكل (7) تطبيق سبق الإجهاد في النموذج

4-نوع العناصر المحدودة المستخدمة في برنامج ABAQUS.19

- C3D8R (Solid Elements) حجمي تم استخدامه لنموذج бетона монолитного сечения.
- T3D2 (Wire Elements) شبكي، تم استخدامه لنموذج قصبة فولاذ التسلیح الطولیة والأسوار وقصبة التسلیح على شکل حرف U وقصبة سبق الإجهاد.

4-ربط عناصر النموذج

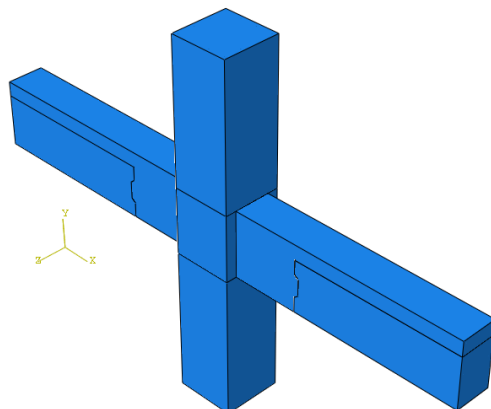
- الرابط بين المقاطع البetonية مسبقة الصنع والمقاطع البetonية المصبوبة بالمكان تم الرابط بين العناصر البetonية مسبقة الصنع والعناصر البetonية المصبوبة بالمكان عن طريق استخدام Interactions من النوع surface to surface مع استخدام معامل احتكاك 0.6. ويبيّن الشكل (8) طريقة الرابط بين العناصر مسبقة الصنع والعناصر المصبوبة بالمكان



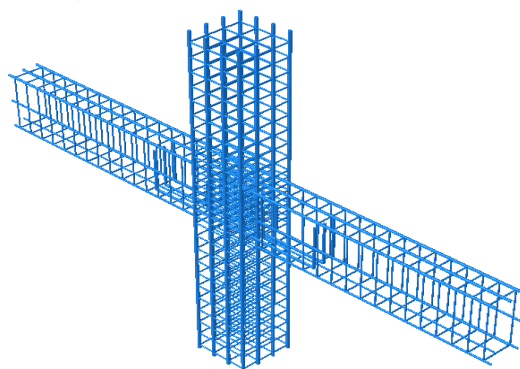
الشكل (4) منحنى الإجهاد-الانفعال لمادة الفولاذ

4-3-تصنيف النموذج في برنامج ABAQUS.19

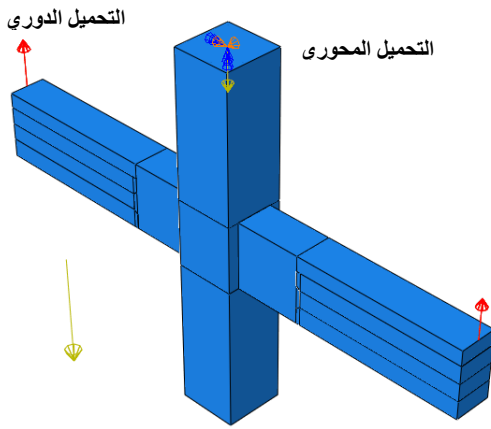
تم بناء النموذج التحليلي باستخدام برنامج ABAQUS.19 في فضاء ثلاثي الابعاد. يوضح الشكل (5) العناصر البetonية مسبقة الصنع والمصبوبة بالمكان، كما يوضح الشكل (6) قضبة التسلیح الطولیة والعرضیة وقصبة التسلیح بشکل حرف U



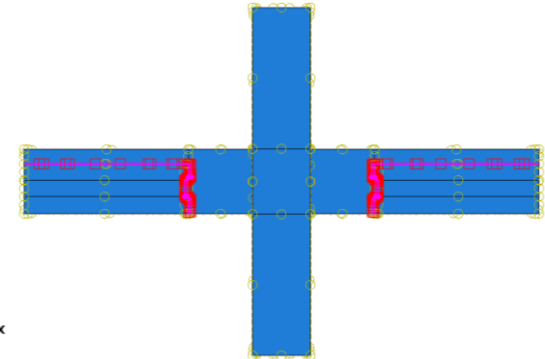
الشكل (5) العناصر البetonية مسبقة الصنع والمصبوبة بالمكان



الشكل (6) قضبة التسلیح في النموذج

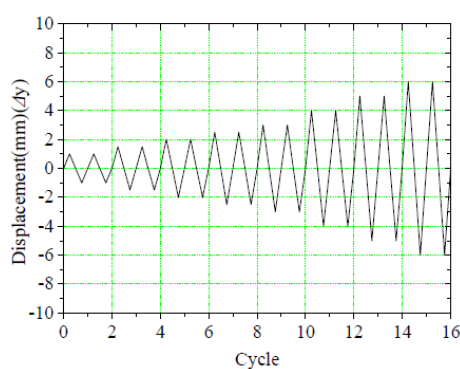


الشكل (9) تطبيق الحمولات في العقدة



الشكل (8) طريقة الرابط بين العناصر مسبقة الصنع والعناصر المصبوبة بالمكان

- ربط قضبان التسلیح مع البيتون
- تم الرابط بين الأجزاء البيتونية وقضبان التسلیح الطولیة والأسوار وقضبان التسلیح على شکل حرف U وقضبان سبق Embedded Constraints من النوع region، الذي يعبر عن التماسك التام بين قضبان التسلیح والبیتون.



الشكل (10) التحميل الدوري المعتمد
(Yan et al.,2018)

5-سلوك الہستیری للنموذج المدروس ومقارنته مع النموذج التجربی في الدراسة المرجعية:
بإجراء التحلیل الستاتیکی للنموذج تم استخراج ملف الحلقات الہستیریة للنموذج التحلیلی ومقارنة هذا الملف مع الحلقات الہستیریة للنموذج التجربی كما هو موضح في الشکل (11). ويبيّن الجدول (4) مقارنة القوّة بين النموذجين حيث بلغت القيمة الأعظمية للفرق النسبي 19 % عند $\delta_y = -8\text{mm}$.

4-6-الشروط المحيطة وتطبيق الحمولات:

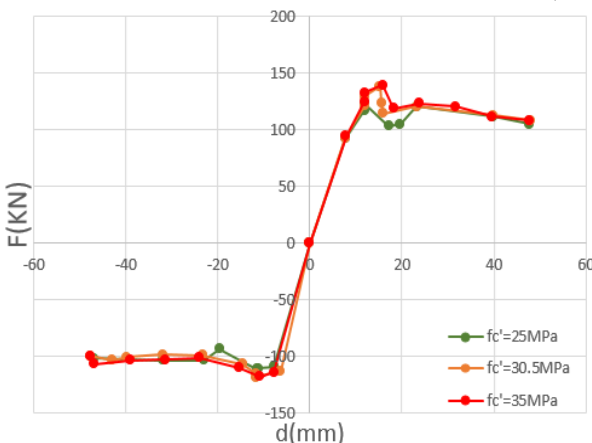
في أعلى العمود تم تقييد جميع درجات الحرية باستثناء الدوران حول المحور z والانتقال المحوري وفق المحور y، حيث رُبطت جميع نقاط السطح ب نقطة مرجعية باستخدام الرابط من النوع Tie Rigid body تم تطبيق التحميل المحوري (916kN) في هذه النقطة. أما في أسفل العمود تم تقييد جميع درجات الحرية باستثناء الدوران حول المحور z. وتم تعريف نقاط مرجعية عند أطراف الجواز وربطها بالسطح باستخدام الرابط من النوع Tie Rigid body باستخدام Tie، وتم تطبيق التحميل الدوري في هذه النقاط وفقاً لبروتوكول التحميل المأوفق للدراسة المرجعية. ويبين الشکل (9) تطبيق الحمولات في العقدة التحميل المحوري والتحمیل الدوري.

- قطر قضبان التسليح بشكل حرف U في منطقة الوصل.

- أبعاد مفتاح القص.

6-1-أثر تغير مقاومة البeton المستخدم في منطقة الوصل:

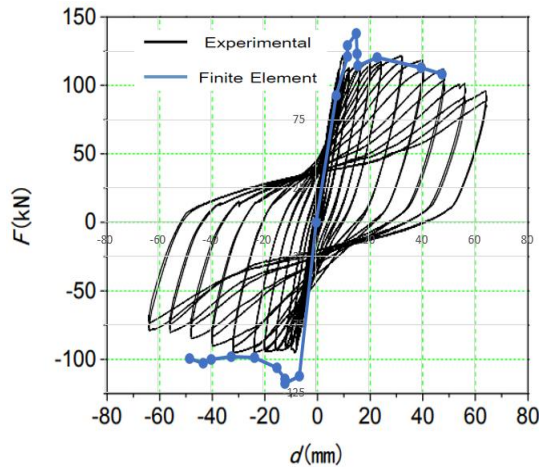
تمأخذ قيم مختلفة للمقاومة المميزة للبيتون المصبوب بالمكان في منطقة الوصل حيث تم اعتماد القيم $f_c' = 30.5, 25, 20$ MPa (35). ويبين الشكل (12) مغلفات الحلقات الهستيرية تتبع لتغير المقاومة المميزة للبيتون في منطقة الوصل حيث يمثل المحور الشاقولي لقوة رد الفعل في نهاية الجائز والمحور الأفقي الانطلاقات الموافقة لها.



الشكل (12) مغلفات الحلقات الهستيرية تتبعً لتغير المقاومة المميزة للبيتون

بمقارنة مغلفات الحلقات الهستيرية نلاحظ زيادة مقاومة العقدة عند زيادة المقاومة المميزة للبيتون المصبوب بالمكان في منطقة الوصل، فمن أجل المقاومة 25 MPa بلغت القيمة الأعظمية لقوة 138.4 kN ، كما بلغت 122.6 kN ، أي ازدادت بنسبة 12.9% من أجل المقاومة 30.5 MPa ، وقد بلغت القوة الأعظمية 139.4 kN من أجل المقاومة 35 MPa ، أي ازدادت بنسبة 13.7% . كما يبين الشكل (13) مقارنة كمية الطاقة المبذولة للعقدة تتبعً لتغير المقاومة المميزة للبيتون المستخدم في منطقة الوصل.

على الرغم من الاختلاف في الحلقات الأولى إلا أن الشكل العام للحالة الهستيرية للنموذج في الدراسة التحليلية مشابه للحالة الهستيرية في الدراسة التجريبية حيث أبدت الدورات الأولى قساوة كبيرة وقفزة في الحلقات الأولى ثم تدهورت القساوة.



الشكل (11) مقارنة مغلف الحلقات الهستيرية للنموذج التحليلي مع النموذج التجاري

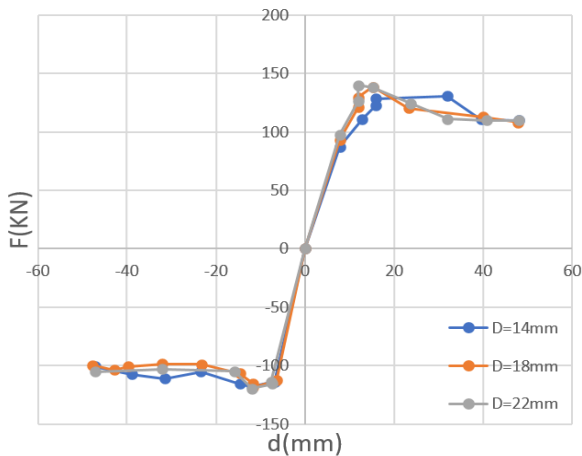
الجدول (4) مقارنة القوة بين النموذج التحليلي والنموذج التجاري

cyclic load $\delta_y=8 \text{ mm}$	$F_{exp}(\text{kN})$	$F_{FE}(\text{kN})$	الفرق النسي %
$6\delta_y=48$	112.0	108.1	3.5
$5\delta_y=40$	117.8	113.0	4.1
$4\delta_y=32$	121.7	115.0	5.5
$3\delta_y=24$	117.8	115.3	2.1
$2\delta_y=16$	117.2	138.8	-18.5
$\delta_y=8$	111.4	93.2	16.3
$\delta_y=-8$	-94.7	-112.7	-19.0
$2\delta_y=-16$	-92.8	-108.2	-16.6
$3\delta_y=-24$	-96.0	-99.1	-3.2
$4\delta_y=-32$	-96.7	-98.7	-2.1
$5\delta_y=-40$	-90.2	-103.8	-15.0
$6\delta_y=-48$	-85.1	-99.8	-17.3

6-الدراسة التحليلية البارامترية:

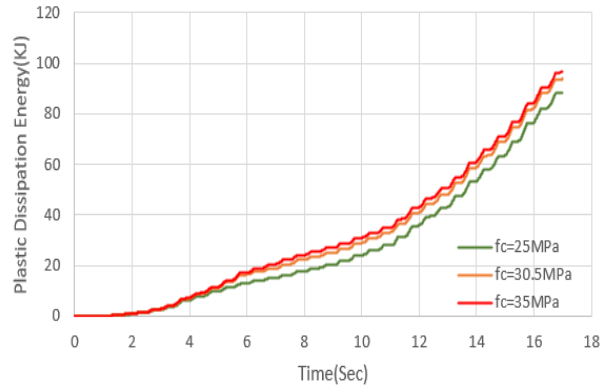
تمت الدراسة لتحسين سلوك العقدة المدروسة وذلك بأخذ أثر تغير البارامترات التالية:

- مقاومة البeton المستخدم في منطقة الوصل.



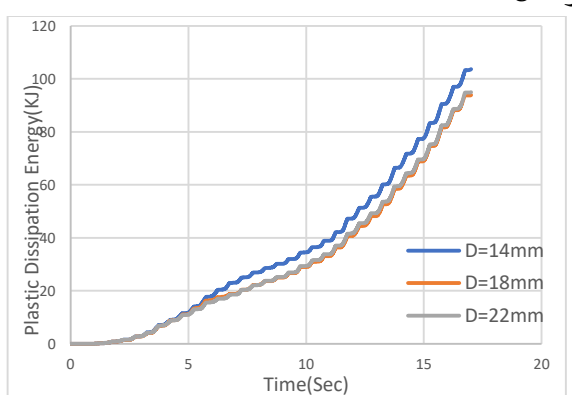
الشكل (14) مغلفات الحلقات الهستيرية تبعاً لتغير قطر قضبان التسلیح
بشكل حرف U

بمقارنة مغلف الحلقات الهستيرية نلاحظ أن القيمة الأعظمية لقوة رد الفعل في نهاية الجائز ازدادت بزيادة قطر قضبان التسلیح على شكل حرف U، فمن أجل القطر 14mm بلغت القيمة الأعظمية لرد الفعل 128.3kN، ومن أجل القطر 18mm بلغت 138.4kN أي ازدادت بنسبة 8%， كما بلغت القيمة الأعظمية للاقوة 141kN من أجل القطر 22mm أي ازدادت بنسبة 10%. كما يبين الشكل (15) مقارنة كمية الطاقة المبددة للعقدة تبعاً لتغير قطر قضبان التسلیح بشكل حرف U



الشكل (13) كمية الطاقة المبددة للعقدة تبعاً لتغير المقاومة المميزة
للبeton

بمقارنة كمية الطاقة المبددة اللدنة للعقدة نلاحظ زيادة الطاقة المبددة اللدنة عند زيادة المقاومة المميزة للبيتون المصوب بالمكان في منطقة الوصل. فمن أجل المقاومة 25MPa بلغت القيمة الأعظمية للطاقة المبددة اللدنة J_{ldn} 88.3kJ، وقد بلغت 93.8kJ عند استخدام المقاومة المميزة 30.5MPa أي ازدادت بنسبة 6.2%. وقد بلغت 96.5kJ عند استخدام المقاومة المميزة 35MPa أي ازدادت بنسبة 9.3%. فبزيادة المقاومة المميزة للبيتون في منطقة الوصل تزداد الانفعالات اللدنة الحاصلة في قضبان التسلیح الأمر الذي يؤدي إلى زيادة الطاقة المبددة اللدنة للعقدة.

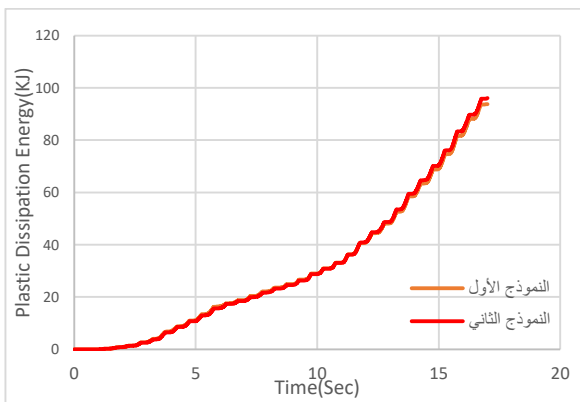


الشكل (15) كمية الطاقة المبددة للعقدة تبعاً لتغير قطر قضبان التسلیح
بشكل حرف U

6-أثر تغير قطر قضبان التسلیح بشكل حرف U في منطقة الوصل:

تم أخذ قيم مختلفة لقطر قضبان التسلیح D بشكل حرف U في منطقة الوصل حيث تم اعتماد الأقطار (14، 18، 22) من أجل نسب التسلیح (0.01، 0.0041، 0.0068) على التوالي. كما يبين الشكل (14) مقارنة مغلفات الحلقات الهستيرية تبعاً لتغير قطر قضبان التسلیح بشكل حرف U.

بمقارنة مخلف الحلقات الهستيرية نلاحظ زيادة مقاومة العقدة بزيادة أبعاد مفتاح القص حيث بلغت القيمة الأعظمية للفرق النسبي للقوة 13.8% وذلك عند الدورة 4. δy. بزيادة أبعاد مفتاح القص يزداد اتصال الجائز البetonique مسبقاً الصنع ومنطقة الوصل البetonique المصبوبة بالمكان . كما يبين الشكل (18) مقارنة كمية الطاقة المبددة للعقدة تبعاً لتغير أبعاد مفتاح القص.



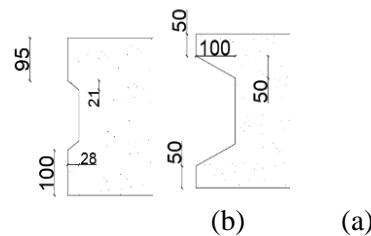
الشكل (18) كمية الطاقة المبددة للعقدة تبعاً لتغير أبعاد مفتاح القص
بمقارنة كمية الطاقة المبددة اللدننة للعقدة للنموذجين نلاحظ زيادة الطاقة المبددة اللدننة للعقدة بزيادة أبعاد مفتاح القص. فمن أجل النموذج الأول بلغت القيمة الأعظمية للطاقة المبددة اللدننة 93.81kJ، ومن أجل النموذج الثاني بلغت القيمة الأعظمية للطاقة المبددة اللدننة 98.6 kJ أي ازدادت القيمة الأعظمية بنسبة 5.2%.

7- الاستنتاجات:

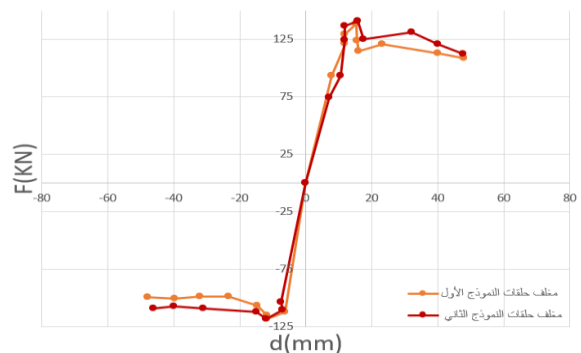
1. بزيادة مقاومة البeton المصبوب بالمكان في منطقة الوصل زادت مقاومة العقدة حيث بلغت القيمة الأعظمية لفرق النسبي لقوة رد الفعل 13.7%， وازدادت الطاقة المبددة اللدننة للعقدة حيث بلغت القيمة الأعظمية لفرق النسبي 9.3%.
2. بزيادة قطر قضبان التسلیح بشكل حرف U زادت مقاومة العقدة حيث ازدادت القيمة الأعظمية لقوة رد الفعل بنسبة 10% وانخفضت الطاقة المبددة اللدننة للعقدة حيث بلغت القيمة الأعظمية لفرق النسبي 9.5%.

بمقارنة كمية الطاقة المبددة اللدننة للعقدة فمن أجل قطر 14mm بلغت القيمة الأعظمية للطاقة المبددة اللدننة للعقدة 103.7kJ، ومن أجل قطر 18mm بلغت 94.97kJ أي انخفضت بنسبة 9.5%， وقد بلغت 93.81kJ من أجل قطر 22mm أي انخفضت القيمة الأعظمية بنسبة 8.4%. حيث نلاحظ زيادة الطاقة المبددة اللدننة للعقدة عند نقصان قطر قضبان التسلیح بشكل حرف U، ويعود ذلك أنه عند نقصان مساحة القضيب تصبح الانفعالات اللدننة في القضبان أكبر الأمر الذي يؤدي لزيادة الطاقة المبددة اللدننة في العقدة.

6-3-أثر تغير أبعاد مفتاح القص:
تمأخذ نموذجين لأبعاد مفتاح القص حيث يوضح الشكل (16) أبعاد مفتاح القص المستخدمة



الشكل (16) أبعاد مفتاح القص المستخدمة
a-النموذج الأول، b-النموذج الثاني
ويبيّن الشكل (17) مقارنة مخلفات الحلقات الهستيرية
للمودعين تبعاً لتغير أبعاد مفتاح القص



الشكل (17) مخلفات الحلقات الهستيرية تبعاً لتغير أبعاد مفتاح القص

3. بتكثير أبعاد مفتاح القص ازدادت مقاومة العقدة حيث بلغت القيمة الأعظمية لفرق النسبي للقوة %13.8، وزدادت الطاقة المبذلة للدنة للعقدة حيث بلغت القيمة الأعظمية لفرق النسبي %5.2.

8-الوصيات والأعمال المستقبلية:

- دراسة أثر تغير شكل قضبان التسلیح المضافة للعقدة المصبوبة بالمكان على سلوك العقدة.
- دراسة أثر استبدال مفتاح القص بمسامير قص في منطقة الوصل.

التمويل: هذا البحث ممول من جامعة دمشق وفق رقم التمويل (501100020595).

References:

- [1] مصطفى جابر & د. م. أمجد الحلواني. (2022). سلوك صفائح القص الفولاذية المختلطة الجدارية تحت تأثير تحمل دوري. مجلة جامعة دمشق للعلوم الهندسية. 38(3).
- [2] Cai, J. G., Feng, J., Zhu, H. J., Liu, Y. F., & Huang, L. F. (2009). Experimental study and FEM analysis of seismic behavior of joints for frame structures comprised of precast prestressed concrete components. In Key Engineering Materials (Vol. 400, pp. 893-899). Trans Tech Publications Ltd.
- [3] Jianguo, C., Jian, F., Zan, W., Yao, C., & Yafei, L. (2008, December). Investigation of a precast concrete structure system. In 2008 International Conference on Information Management, Innovation Management and Industrial Engineering (Vol. 3, pp. 449-452). IEEE.
- [4] Liu, Y., Cai, J., Deng, X., Cao, Y., & Feng, J. (2019). Experimental study on effect of length of service hole on seismic behavior of exterior precast beam–column connections. Structural Concrete, 20(1), 85-96.
- [5] Yan, X., Wang, S., Huang, C., Qi, A., & Hong, C. (2018). Experimental study of a new precast pre-stressed concrete joint. Applied Sciences, 8(10), 1871.
- [6] Yang, J., Guo, T., Chai, S., & Li, A. (2019). Cyclic tests on beam-column joints of SCOPE system with different key slot lengths and corrosion levels. Engineering Structures, 201, 109406.